

При изгибе пластин

$$N_r = N_\varphi = 0, \quad \varepsilon_{rr} = 0, \quad \varepsilon_{\varphi\varphi} = 0, \quad \kappa_r = -\frac{d^2 w}{dr^2}, \quad \kappa_\varphi = -\frac{1}{r} \frac{dw}{dr}.$$

Моменты  $M_r$  и  $M_\varphi$  удовлетворяют уравнениям равновесия

$$\frac{\partial}{\partial r} (rM_r) - M_\varphi = \int_0^r pr \, dr$$

Введем безразмерные величины

$$m_r = M_r/M_0, \quad m_\varphi = M_\varphi/M_0, \quad \rho = r/R, \quad p' = pR^2/M_0, \quad W = w/R, \quad M_0 = kh^2/4, \\ R\kappa_{ij} = k_{ij}, \quad \nu = 2\eta h/3kR$$

Функционал  $J$  при изгибе пластины примет вид

$$J = \int_S \left[ 2m_r k_r + 2m_\varphi k_\varphi - \nu(k_r^2 + k_r k_\varphi + k_\varphi^2) - \frac{2}{3\nu} (m_r^2 - m_r m_\varphi + m_\varphi^2) + \right. \\ \left. + 2\nu \sqrt{1/3} (m_r^2 - m_r m_\varphi + m_\varphi^2) - \sqrt{k_r^2 + k_r k_\varphi + k_\varphi^2} - p' W \right] ds \quad (3.6)$$

Кинематически допустимое поле скоростей перемещений и статически допустимое поле моментов зададим в форме

$$W = H(1 - \rho^2), \quad m_r = D(1 - \rho^2), \quad m_\varphi = D + (p'/2 - 3D)\rho^2 \quad (3.7)$$

Подставляя выражения (3.7) в (3.6) и минимизируя функционал по  $H$  и  $D$ , получим

$$W = \frac{p' - 4\sqrt{3}}{48\nu} (1 - \rho^2), \quad m_r = \frac{7}{32} p' (1 - \rho^2), \quad m_\varphi = \frac{p'}{32} (7 - 3\rho^2)$$

На фигуре пунктирные кривые соответствуют найденным значениям  $m_r$  (кривая 1),  $m_\varphi$  (кривая 2) и  $W$  (кривая 3). Сплошными линиями отмечено соответствующее решение, полученное в [3].

Поступила 2 VI 1975

#### ЛИТЕРАТУРА

1. Фрейденталь А., Гейрингер Х. Математические теории неупругой сплошной среды. М., Физматгиз, 1962.
2. Черных К. Ф. Линейная теория оболочек. Изд-во ЛГУ, 1964.
3. Пэжина П. Основные вопросы вязкопластичности. М., «Мир», 1968.

УДК 539.3

### КОНЕЧНЫЕ ПЕРЕМЕЩЕНИЯ ОСЕСИММЕТРИЧНЫХ НЕПОЛОГИХ ОБОЛОЧЕК

Н. В. ВАЛИШВИЛИ

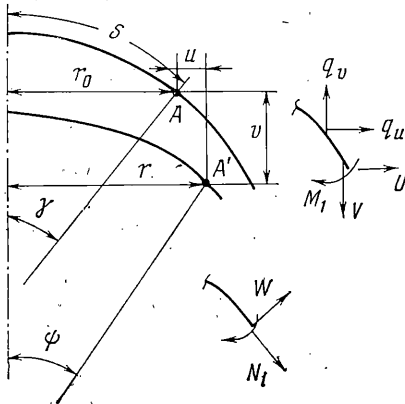
(Кутаиси)

Вопросы расчета неполюгих оболочек при конечных перемещениях неоднократно рассматривались на примере сферических оболочек. В работах [1, 2] уравнения Рейсснера [3, 4] решались при малых и средних значениях параметра пологости методом конечных разностей. Аналогичные уравнения были использованы для исследования эластички замкнутой сферы в [5, 6].

Уточненный вариант уравнений Рейсснера предложен и рассмотрен в [7]. Уравнения другого вида были получены в [8]. На основании этих уравнений исследованы сферические оболочки с подвижным в радиальном направлении опорным контуром.

Другой вариант уравнений неполюгих сферических оболочек предложен в [9]. Аналогичные уравнения использовались для установления пределов применимости уравнений полюгих оболочек в [10].

Уравнения для численного исследования задач на ЭЦВМ получены в [11]. При этом используются исходные соотношения [8], но они не упрощаются, а уравнения не усложняются. Другой вариант уравнений получен в [12]. Ниже результаты [11] обобщаются на случай ортогональных оболочек переменной толщины, находящихся в температурном поле. Во всех рассмотренных ниже задачах относительные удлинения малы по сравнению с единицей.



Фиг. 1

риала  $\nu_i$ ,  $E_i$ ,  $\alpha_i$  — коэффициент Пуассона, модуль упругости и коэффициент линейного расширения в меридиональном ( $i=1$ ) и кольцевом ( $i=2$ ) направлениях изменяются только вдоль меридиана.

Принимая во внимание, что  $\nu_1/E_1 = \nu_2/E_2$ , получим следующие выражения для нормальных сил и изгибающих моментов:

$$N_1 = B_1(\epsilon_1 + \nu_2 \epsilon_2 - \beta_1), \quad N_2 = B_2(\epsilon_2 + \nu_1 \epsilon_1 - \beta_2) \\ M_1 = D_1(\kappa_1 + \nu_2 \kappa_2 - \zeta_1), \quad M_2 = D_2(\kappa_2 + \nu_1 \kappa_1 - \zeta_2) \quad (1.1)$$

$$\beta_1 = \frac{\alpha_1 + \nu_2 \alpha_2}{h} \int_{-h/2}^{h/2} t \, dz, \quad \beta_2 = \frac{\alpha_2 + \nu_1 \alpha_1}{h} \int_{-h/2}^{h/2} t \, dz, \quad \zeta_1 = \frac{12(\alpha_1 + \nu_2 \alpha_2)}{h^3} \int_{-h/2}^{h/2} t z \, dz \\ \zeta_2 = \frac{12(\alpha_2 + \nu_1 \alpha_1)}{h^3} \int_{-h/2}^{h/2} t z \, dz, \quad B_i = \frac{E_i h}{1 - \nu_1 \nu_2}, \quad D_i = \frac{E_i h^3}{12(1 - \nu_1 \nu_2)} \quad (i=1,2)$$

Параметры изменения кривизны и деформаций определяются из выражений

$$\epsilon_1 = \frac{1}{\cos \psi} \left( \cos \gamma + \frac{du}{ds} \right) - 1 = \frac{1}{\sin \psi} \left( \sin \gamma + \frac{dv}{ds} \right) - 1, \quad \epsilon_2 = \frac{u}{r_0} \quad (1.2) \\ \kappa_1 = \frac{d\psi}{ds} - (1 + \epsilon_1) \frac{d\gamma}{ds}, \quad \kappa_2 = (1 + \epsilon_2) \left( \frac{\sin \psi}{r} - \frac{\sin \gamma}{r_0} \right), \quad r = r_0 + u$$

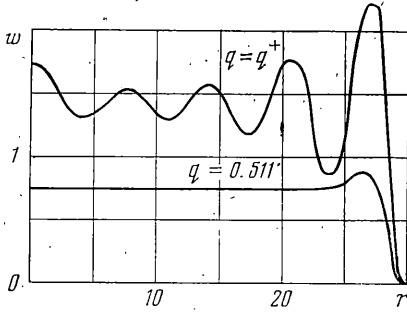
где  $u$ ,  $v$  — горизонтальная и вертикальная составляющие вектора перемещения точки срединной поверхности (фиг. 1);  $\psi$ ,  $\gamma$  — угол между нормалью к деформированной и недеформированной срединной поверхности и осью оболочки;  $S$  — длина дуги, отсчитываемая вдоль меридиана.

Уравнения равновесия элемента оболочки запишутся в виде [3]

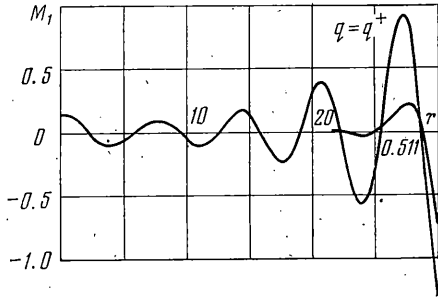
$$\frac{d(rV)}{r \, ds} - (1 + \epsilon_1) q_v = 0, \quad \frac{d(rU)}{r \, ds} - (1 + \epsilon_1) \left( \frac{N_2}{r} - q_u \right) = 0 \\ \frac{d(rM_1)}{r \, ds} - (1 + \epsilon_1) \left( \frac{\cos \psi}{r} M_2 + W \right) = 0$$

где  $V, U$  — вертикальная и горизонтальная составляющие внутреннего усилия на площадке, перпендикулярной к меридиану;  $q_v, q_u$  — аналогичные составляющие поверхностной нагрузки,  $W$  — поперечная сила.

Нормальная и поперечная силы определяются из выражений  $N_1 = U \cos \psi + V \sin \psi$ ,  $W = U \sin \psi - V \cos \psi$ . Аналогичные формулы имеют место и для проекции вектора



Фиг. 2



Фиг. 3

перемещения на касательную к меридиану и нормаль к деформированной срединной поверхности  $n = u \cos \psi + v \sin \psi$ ,  $w = u \sin \psi - v \cos \psi$ .

В качестве основных неизвестных в дальнейшем используются следующие параметры:  $V, U, M_1, v, \varepsilon_2, \psi$ .

Для этих неизвестных составляется система дифференциальных уравнений. Однако предварительно вводятся следующие расчетные параметры:

$$V^* = \sqrt{\eta} \frac{VR_0}{E_0 h_0^2}, \quad M_1^* = \eta \frac{M_1 R_0}{E_0 h_0^3}, \quad \varepsilon_1^* = \sqrt{\eta} \frac{\varepsilon_1 R_0}{h_0}, \quad q_v^* = \frac{\sqrt{\eta}}{4} \frac{q_v}{E_0} \left( \frac{R_0}{h_0} \right)^2$$

$$v^* = \sqrt{\eta} \frac{v}{h_0}, \quad r_0^* = b \frac{r_0}{s_0}, \quad r^* = b \frac{r}{s_0}, \quad b = \sqrt{\eta} \frac{s_0}{\sqrt{R_0 h_0}}, \quad \eta = 12(1 - \nu_1 \nu_2)$$

$$P^* = \eta^{3/4} \sqrt{\frac{R_0}{h_0}} \frac{P}{2\pi E_0 h_0^2}, \quad \alpha = b \frac{R_0}{s_0}, \quad \varkappa_1^* = R_0 \varkappa_1, \quad S^* = b \frac{S'}{S_0}$$

где  $R_0, h_0, E_0$  — характерные радиус кривизны, толщина и модуль упругости;  $s_0$  — длина дуги меридиана недеформированной оболочки;  $P$  — сосредоточенная сила, приложенная в вершине. Аналогичные параметры вводятся и для других деформаций, перемещений и силовых факторов. Для краткости записи звездочка в дальнейшем в обозначениях опускается.

После ряда преобразований для расчетных параметров  $V, U, M_1, \dots$  получим следующую систему дифференциальных уравнений:

$$V' = -\delta_1 \left( \frac{\cos \psi}{r} V - \frac{4}{\alpha} q_v \right), \quad U' = -\delta_1 \left( \frac{\cos \psi}{r} U - \frac{N_2}{r} + \frac{4}{\alpha} q_u \right)$$

$$M_1' = -\delta_1 \left[ \frac{\cos \psi}{r} (M_1 - M_2) - \alpha \delta_2 W \right], \quad v' = \alpha (\delta_1 \sin \psi - \sin \gamma) \quad (1.3)$$

$$\varepsilon_2' = \frac{\alpha^2}{r_0} (\delta_1 \cos \psi - \delta_2 \cos \gamma), \quad \psi' = \delta_1 \gamma' + \frac{1}{\alpha} \varkappa_1, \quad \frac{d(\quad)}{ds} = (\quad)'$$

Из правых частей (1.3) легко исключить неизвестные параметры, не входящие в систему основных неизвестных. Однако при расчетах удобнее пользоваться следующими вспомогательными выражениями:

$$N_1 = U \cos \psi + V \sin \psi, \quad W = U \sin \psi - V \cos \psi, \quad r = \delta_2 r_0, \quad a_i = \xi_i R_0 \quad (1.4)$$

$$\varepsilon_1 = \frac{1 - \nu_1 \nu_2}{e_1 \lambda} N_1 - \nu_2 \varepsilon_2 + l_1, \quad u = \frac{e_2 r_0}{\alpha}, \quad N_2 = \frac{e_2 \lambda}{1 - \nu_1 \nu_2} (\varepsilon_2 + \nu_1 \varepsilon_1 - l_2)$$

$$\begin{aligned} \kappa_1 &= \frac{1}{e_1 \lambda^3} M_1 - \nu_2 \kappa_2 + a_1, & \kappa_2 &= \delta_2 \alpha \left( \frac{\sin \psi}{r} - \frac{\sin \gamma}{r_0} \right), & \lambda &= \frac{h}{h_0} \\ M_2 &= c_2 \lambda^3 (\kappa_2 + \nu_1 \kappa_1 - a_2), & e_i &= \frac{E_i}{E_0}, & \delta_i &= 1 + \frac{\varepsilon_i}{\alpha^2}, & l_i &= \sqrt{\eta} \frac{\beta_i R_0}{h_0} \\ n &= u \cos \psi + v \sin \psi, & w &= u \sin \psi - v \cos \psi \quad (i=1, 2) \end{aligned}$$

Первое уравнение системы (1.3) в ряде случаев целесообразно проинтегрировать. В случае действия на оболочку внешнего гидростатического давления и сосредоточения в вершине осевой силы с параметрами  $q$  и  $P$  получим

$$V = -(P/r + 2qr/\alpha) \quad (1.5)$$

2. Уравнения (1.3), (1.4) позволяют рассмотреть оболочки с разными условиями крепления опорного контура. Если оболочка замкнута, то для проведения численных исследований необходимо получить выражения основных неизвестных, справедливые в малой окрестности вершины  $[0, \Delta]$ . Рассмотрим этот вопрос применительно к ненапряженным оболочкам переменной толщины при отсутствии сосредоточенной в вершине силы. Если в окрестности вершины представить асимптотику решения такой же, как и для круглой пластинки, то можно принять

$$\kappa_1(\Delta) = kA, \quad \kappa_2(\Delta) = A, \quad \varepsilon_1(\Delta) = kB, \quad \varepsilon_2(\Delta) = B \quad (2.1)$$

где  $k = \sqrt{E_2/E_1}$ . Постоянные  $A$  и  $B$  определяются при решении уравнений.

С учетом (2.1) из системы (1.4) получаются следующие выражения для основных неизвестных в начале отрезка интегрирования:

$$\begin{aligned} U(\Delta) &= e_1 \lambda [(1 - \nu_1 \nu_2) \cos \gamma]^{-1} (k + \nu_2) B - V \operatorname{tg} \gamma, \\ M_1(\Delta) &= e_2 \lambda^3 (k + \nu_2) A, \quad \varepsilon_2(\Delta) = B, \quad \psi(\Delta) = Ar_0/\alpha \cos \gamma - (1 - \delta_2) \operatorname{tg} \gamma + \gamma \end{aligned}$$

Значение  $V(\Delta)$  определяется из уравнения равновесия элемента, выделенного вокруг вершины оболочки, или непосредственно из (1.5). Что касается  $v(\Delta)$ , то его на первом этапе решения задачи можно принять равным нулю, а истинное его значение установить после определения  $A$  и  $B$  решением краевой задачи.

Таким образом для решения нелинейной краевой задачи при каждом фиксированном значении нагрузки необходимо установить значение двух расчетных параметров  $A$  и  $B$ . Это удается сделать непосредственным интегрированием на всем отрезке  $[\Delta, b]$  с применением алгоритма [13] при малых и средних значениях параметра  $b$ . При больших  $b$  используем прием деления отрезка интегрирования на  $m$  промежуточных отрезков, и интегрирование проводим только на отдельных отрезках. Из условия непрерывности основных неизвестных в граничных точках и условий крепления опорного контура получаем  $4m - 2$  нелинейных алгебраических уравнений с соответствующим числом неизвестных. Система решается с помощью алгоритма [13] численно. При этом для обеспечения условия разрешимости системы в окрестности предельных точек предусматривается возможность использования любого из  $4m - 2$  неизвестных в качестве вспомогательного параметра. Иначе задачи решать не всегда удается, так как некоторые из параметров в окрестности предельных точек равны нулю или имеют точку возврата. Такое положение является характерным для оболочек с большими и средними значениями параметра пологости  $b$ .

При проведении исследования отрезок интегрирования делится на четыре части так, что нелинейная краевая задача сводится к системе 14 нелинейных алгебраических уравнений. Решение получается модифицированным методом Ньютона на ЭЦВМ БЭСМ-4. Интегрирование проводится методом Рунге - Кутты с автоматическим выбором шага, обеспечивающим абсолютную точность  $10^{-5}$ . Контрольные расчеты проводятся с такой же относительной точностью, и результаты практически совпадают с основными. Условия непрерывности функций в промежуточных точках и граничные условия выполняются с точностью  $10^{-4}$ . Начало отрезка интегрирования для всех задач определяется как  $\Delta = 0.1$ . В контрольных расчетах эта величина уменьшается на порядок. Заметим, что соответствующим выбором неизвестных при заданном разбиении отрезка интегрирования задача может быть сведена к системе восьми нелинейных алгебраических уравнений с соответствующим числом неизвестных. Но при этом якобиан системы усложняется, и время, необходимое на решение задачи, практически не изменяется.

3. Рассматриваются изотропные сферические оболочки постоянной толщины при действии внешнего гидростатического давления постоянной интенсивности с параметром  $q^*$  при отсутствии нагрева. Основные расчетные параметры для таких оболочек представляется в виде

$$b = \sqrt{\eta} \frac{s_0}{\sqrt{Rh}}, \quad q^* = \frac{\sqrt{\eta}}{4} \frac{q}{E} \left( \frac{R}{h} \right)^2, \quad \eta = 12(1-\nu^2), \quad \nu=0.3$$

$$\nu_i = \nu, \quad E_i = E, \quad l_i = 0, \quad a_i = 0, \quad \lambda = 1, \quad \alpha = b / \gamma_0, \quad \gamma' = 1 / \alpha$$

где  $R$  — радиус кривизны;  $\gamma_0$  — угол наклона нормали к недеформированной срединной поверхности у опорного контура.

Расчеты проводятся для оболочек с опорным контуром, шарнирно подвижным в меридиональном направлении (задача 1), шарнирно неподвижным (задача 2), подвижны в меридиональном направлении, но с запрещением угла поворота нормали (задача 3), жестко заземленным (задача 4), шарнирно подвижным в радиальном направлении (задача 5), подвижным в радиальном направлении, но с запрещением угла поворота нормали (задача 6).

Проведенные исследования показали, что с увеличением параметра  $b$  трудоемкость решения задач резко возрастает, в то время как увеличение параметра  $\gamma_0$  не приводит к каким-либо принципиальным трудностям.

Установлено, что характер краевого эффекта по-разному проявляется при малых и больших уровнях нагрузки (следовательно, и в линейных и нелинейных задачах). Для пояснения этого положения на фиг. 2 и 3 приводятся графики параметров нормальных перемещений и радиальных изгибающих моментов для сферической оболочки с параметрами  $b=30$ ,  $\gamma_0=0.5$  с жестко заземленным опорным контуром при параметрах нагрузки, равных критическому ( $q=q^+$ ) и примерно его половине. Аналогичная картина наблюдается и для оболочек с шарнирно неподвижным опорным контуром. Что касается оболочек с подвижным опорным контуром, то для них как при малых, так и при больших (близких к критическому) уровнях нагрузки центральная часть находится в состоянии, близком к безмоментному. Перестроение формы деформированной поверхности имеет место только в зоне, прилегающей к опорному контуру.

Значения критических нагрузок  $q^+$  в зависимости от  $b$ , полученные по уравнениям пологих оболочек, для которых в дальнейшем используется условное обозначение  $\gamma_0=0$ , и непологих оболочек при различных значениях  $\gamma_0$ , приводятся в таблице.

	$\gamma_0$	$b=4$	$b=6$	$b=8$	$b=10$	$b=12$	$b=18$	$b=30$
1	0	0.137	0.165	0.174	0.179	0.182	0.187	0.191
	0.3	0.137	0.166	—	0.181	0.185	—	—
	0.5	0.137	0.168	0.179	0.185	0.190	—	0.203
2	0	0.663	0.743	0.789	0.752	0.853	0.898	0.940
	0.3	0.671	—	0.799	—	0.857	—	—
	0.5	0.687	—	0.803	—	0.863	0.908	0.945
3	0	—	0.311	0.367	0.386	0.396	—	0.425
	0.3	—	0.304	0.361	0.380	0.392	—	—
	0.5	—	0.292	0.350	0.370	0.383	0.402	0.417
4	0	0.564	0.972	1.109	0.811	0.959	0.920	0.951
	0.3	0.573	0.983	1.117	0.836	0.965	—	—
	0.5	0.588	1.004	1.139	0.825	0.966	—	0.951
5	0	0.137	0.165	0.174	0.179	0.182	0.187	0.191
	0.3	—	—	—	—	—	0.192	—
	0.5	0.144	0.174	—	0.189	—	0.200	0.205
6	0	—	0.311	0.367	0.386	0.396	—	0.425
	0.5	—	0.336	—	0.413	—	0.444	0.458

Видно, что для оболочек с неподвижным опорным контуром (задачи 2 и 4) уравнения пологих оболочек позволяют определять критические нагрузки с высокой степенью точности в широком диапазоне изменения параметров  $b$  и  $\gamma_0$ . Дальнейшее увеличение угла также мало сказывается на результате. Так, например, для оболочек с жестко заземленным опорным контуром и параметрами  $\gamma_0=\pi/2$ ,  $b=30$  имеем  $q^+=0.959$ .

Примерно такая же картина наблюдается и для оболочки с подвижным в меридиональном направлении, но заземленным опорным контуром (задача 3). Но влияние угла здесь больше. Так, например, для оболочки с параметрами  $\gamma_0=0.8$ ,  $b=8$  решением будет  $q^+=0.320$ , т.е. уравнения пологих оболочек позволяют определять крити-

ческую нагрузку с точностью 14.6%. Но если  $\gamma_0 \leq 0.5$ , то ошибка не превышает 5%.

Для оболочек с шарнирно подвижным в меридиональном направлении опорным контуром влияние угла наклона нормали  $\gamma_0$  на ошибку в определении критических нагрузок по уравнениям пологих оболочек более существенно. Но тем не менее, при  $\gamma_0 \leq 0.5$  она не превосходит 5—7%. Что касается параметра  $b$ , то его значение и здесь мало влияет на пределы применимости уравнений пологих оболочек. Аналогичное положение имеет место и для оболочек с подвижным в радиальном направлении опорным контуром.

Как уже отмечалось, относительные удлинения в соотношениях следует считать малыми по сравнению с единицей. Поэтому в соотношениях параметров изменения кривизн и уравнениях равновесия в множителях  $(1+\varepsilon_i)$  можно пренебречь вторыми слагаемыми. Получаемые при этом значения критических нагрузок практически совпадают с приведенными в таблице.

Для некоторых из рассматриваемых оболочек при больших значениях параметра  $b$  возможен переход осесимметричных форм равновесия в неосесимметричные. Исследование подобных задач требует прежде всего определения основного напряженного состояния решением нелинейной краевой задачи, что делается по изложенной выше методике.

Поступила 5 IX 1973

#### ЛИТЕРАТУРА

1. *Mescall J.* Numerical solutions of nonlinear equations for shells of revolution. AIAA Journal, 1966, vol. 4, No. 11.
2. *Mescall J.* Large deflections of spherical shells under concentrated loads. Trans. ASMS. Ser. E. J. Appl. Mech., 1965, vol. 32, No. 4.
3. *Reissner E.* On axisymmetrical deformations of thin shells of revolution. Proc. Sympos. Appl. Math., New York, Mc Graw-Hill, 1950, vol. 3.
4. *Reissner E.* On the equations for finite symmetrical deflections of thin shells of revolution. Progr. Appl. Mech. New York — London, Macmillan Co., 1963.
5. *Феодосьев В. И.* Осесимметричная эластика сферической оболочки. ПММ, 1969, т. 33, вып. 2.
6. *Bauer L., Reiss E. L., Keller H. B.* Axisymmetric buckling of hollow spheres and hemispheres. Commun. Pure and Appl. Math., 1970, vol. 23, No. 4.
7. *Шилькрук Д. И.* Некоторые вопросы теории непологих нелинейных упругих оболочек. В сб.: Вопросы нелинейной теории оболочек и стержней. Тр. Кишиневск. политехн. ин-та, 1969.
8. *Григолюк Э. И., Мамай В. И., Фролов А. Н.* Исследование устойчивости непологих сферических оболочек при конечных перемещениях на основе различных уравнений теории оболочек. Изв. АН СССР. МТТ, 1972, № 5.
9. *Ворович И. П., Минакова Н. И.* Устойчивость неполного сферического купола. ПММ, 1968, т. 32, № 2.
10. *Валишвили Н. В., Горелов Л. К.* Об уравнениях, применяемых при исследовании устойчивости пологих сферических оболочек. Изв. АН СССР. МТТ, 1971, № 2.
11. *Валишвили Н. В.* О пределах применимости нелинейных уравнений пологих оболочек. Изв. вузов. Машиностроение, 1972, № 5.
12. *Wasziszyn Z.* Obliczanie skonych uglei sprzysto-plastycznych plyt i Powlok obrotowo-symetry cznych. Krakowskiej Zeszyty Naukowe Politechnika, Krakow, 1970, No. 3.
13. *Валишвили Н. В.* Об одном алгоритме решения нелинейных краевых задач ПММ, 1968, т. 32, вып. 6.
14. *Keller H. B.* Numerical methods for two-point boundary-value problems. Waltham, Mass Toronto, London, Blaisdell Publ., Comp., 1968.